

# ستنتر آهن (III) اکسید نانوساختار با سطح ویژه بالا با استفاده از دستگاه خشک کن دی اکسید کربن فوق بحرانی تولید داخل

اللهه بابایی، امین بازیاری\*

دانشکده مهندسی شیمی، نفت و گاز، دانشگاه علم و صنعت ایران، تهران، ایران

**چکیده:** هدف از انجام این پژوهش تولید آهن (III) اکسید نانوساختار با سطح ویژه و تخلخل بالا بود. در این پژوهش نانوساختار مبتنی بر آهن (III) اکسید با استفاده از روش سل-ژل سنتر شد. ژل‌های حاصل با استفاده از دوروش خشک کردن در فشار محیط (در دمای  $10^{\circ}\text{C}$ ) و خشک کردن دی اکسید کربن فوق بحرانی، خشک شدند. سپس آثروژل و زروژل اکسید آهن (III) تولید شده در دمای  $350^{\circ}\text{C}$  و به مدت ۴ ساعت کلسینه شدند. مشخصات ساختاری و شیمیایی نانوساختارهای آهن (III) اکسید کلسینه شده با استفاده از آنالیزهای مشخصه یابی پراش پرتو ایکس (XRD)، جذب و واجذب نیتروژن (BET) و میکروسکوپ الکترونی روبشی نشر میدانی (FESEM) مورد بررسی قرار گرفت. نتیجه‌های نشان می‌دهد که آثروژل آهن (III) اکسید متشکل از نانو ذره‌های کروی شکل است. الگو پراش پرتو ایکس نیز نشان می‌دهد که آثروژل حاصل دارای فاز بلوری هماتیت خالص ( $\alpha\text{-Fe}_2\text{O}_3$ ) است. به علاوه آثروژل تولید شده دارای سطح ویژه  $140 \text{ m}^2/\text{g}$ ، حجم حفره‌ها  $0.32 \text{ cm}^3/\text{g}$  و میانگین قطر حفره‌ها  $8/9 \text{ nm}$  است و زروژل تولید شده نیز دارای سطح ویژه  $65 \text{ m}^2/\text{g}$ ، حجم حفره‌ها  $0.18 \text{ cm}^3/\text{g}$  و میانگین قطر حفره‌ها  $10/8 \text{ nm}$  است؛ بنابراین نتیجه‌های آنالیز BET می‌کند که خشک کردن اکسید آهن نانوساختار با استفاده از روش خشک کردن فوق بحرانی، منجر به حفظ بهتر ساختار متخلخل آن می‌گردد.

**واژه‌های کلیدی:** خشک کن فوق بحرانی، دی اکسید کربن فوق بحرانی، آثروژل، اکسید آهن، هماتیت، نانوذره.

**KEYWORDS:** Supercritical Dryer, Supercritical  $\text{CO}_2$ , Aerogel, Iron Oxide, Hematite, Nanoparticle.

## مقدمه

توسط کیستلر در سال ۱۹۳۱ میلادی، در کالیفرنیا ساخته شد. کیستلر برای اثبات وجود شبکه جامد در ژل خیس، مایع درون منافذ ژل را به هدف حفظ ساختار جامد، در حالت فوق بحرانی خارج کرد و اولین آثروژل را تهیه و معرفی نمود [۲]. آثروژل‌ها سبک‌ترین مواد جامدی هستند که امروزه در مقیاس صنعتی شناخته شده و تولید می‌شوند. در حال حاضر،

آثروژل‌ها مواد نانو ساختاری هستند که دارای ویژگی‌های منحصر به فردی مانند: چگالی کم، سطح ویژه زیاد، تخلخل بالا و غیره هستند. با توجه به ویژگی‌های منحصر به فردی که آثروژل‌ها دارند، می‌توانند رسانا یا عیق، شفاف یا کاملاً سیاه، کاتالیزور و یا جاذب فوق العاده‌ای باشند [۱]. به طور معمول آثروژل‌ها از روش سل-ژل سنتر می‌شوند. اولین آثروژل

+E-mail: abazyari@iust.ac.ir

(۱) Kister

\* عهده‌دار مکاتبات

به انواع خاصی از ژل‌ها محدود نمی‌شود. در روش خشک کردن فوق بحرانی سیالی که به صورت مایع در ژل وجود دارد، با افزایش دما و فشار به سیال فوق بحرانی تبدیل می‌شود و سپس با ثابت نگه داشتن دما و کاهش فشار وارد فاز گازی می‌شود. افزایش دما و فشار بیش از نقطه بحرانی یک مایع یا گاز، منجر به انتقال آن به فاز فوق بحرانی می‌شود. در این حالت دانسیته مایع به علت افزایش دما کاهش و دانسیته گاز به علت افزایش فشار افزایش می‌یابد و در پایان دانسیته دو فاز با هم برابر می‌شود، به همین دلیل در نقطه بحرانی هیچ تفاوتی بین فاز مایع و گاز وجود ندارد. در حالت فوق بحرانی مولکول‌های موجود در سیال با سرعت از یکدیگر عبور می‌کنند و به هم نمی‌چسبند، از این رو کشش سطحی در سیال فوق بحرانی نزدیک به صفر است؛ بنابراین در روش خشک کردن فوق بحرانی نیز فشار موینگی ایجاد نمی‌شود. عدم وجود کشش سطحی و فشار موینگی در روش باعث می‌شود تا ژل با جمع شدگی و بسیار کمی خشک شود و ساختار ژل تقریباً سالم بماند [۷]. خشک کردن فوق بحرانی با کاهش کشش سطحی سیال درون منافذ ژل در زمان خارج شدن آن، می‌تواند باعث ایجاد ویژگی‌های منحصر به فردی در خواص نوری، الکتریکی، شیمیایی و فیزیکی آثروژل‌ها شود و کاربرد آن‌ها را نیز گسترش دهد [۸]. یک مزیت قابل توجه در روش خشک کردن فوق بحرانی این است که حلال مورد استفاده در فرآیند سنتز می‌تواند از طیف وسیعی از حلال‌ها انتخاب شود. در فرآیند خشک کردن فوق بحرانی، می‌توان از حلال‌های آلی گوناگونی مانند اتانول، متانول و غیره استفاده کرد. نقطه بحرانی رایج‌ترین حلال‌های آلی بالاتر از ۲۰۰ °C است و فشار بحرانی آن‌ها در محدوده ۸۰–۴۰ bar می‌باشد. به علت بالا بودن دمای نقطه بحرانی حلال‌های آلی، در صورت انتشار تصادفی و کنترل نشده آن‌ها، خطر آتش سوزی وجود دارد. به علاوه دمای بالای فرآیند ممکن است به مواد حساس به حرارت مانند داروها آسیب رساند [۹]. سیال دی‌اکسید کربن به دلیل سازگاری با محیط زیست، غیر سمی و غیر قابل اشتعال بودن برای استفاده در فرآیند خشک کردن فوق بحرانی گزینه کم خطر و بسیار مناسبی است به علاوه سیال دی‌اکسید کربن دارای ظرفیت بالایی برای انحلال حلال موجود در منافذ ژل، بدون خاصیت خورنده و ارزان است. از این رو اگر مایع درون ژل با یک سیال ایده‌آل مانند دی‌اکسید کربن که علاوه بر دمای پایین نقطه بحرانی، از نظر ایمنی و پایداری شیمیایی، برتر از حلال‌های آلی است تعویض شود، فرآیند خشک کردن فوق بحرانی در دمای پایین و با ایمنی بیشتر انجام می‌شود [۱۰]. استفاده از سیال دی‌اکسید کربن فوق بحرانی با دمای

تولید صنعتی آثروژل‌ها عمدهاً به آثروژل‌های مبتنی بر سیلیس، کربن و مقدارهای کمی آثروژل‌های آلی محدود می‌شود [۳]. آثروژل‌ها بر حسب ترکیب شیمیایی به چهار گروه تقسیم می‌شوند که هر کدام در زمینه‌های خاصی کاربرد دارند. این چهار گروه عبارت‌اند از: آثروژل‌های معدنی، آثروژل‌های آلی، آثروژل‌های کربنی و آثروژل‌های هیبریدی یا کامپوزیتی. واژه آثروژل، ساختار هندسی خاصی از ماده را توصیف می‌کند که به نوع ماده و به یک روش سنتز محدود نمی‌شود. از این رو تنوع مواد و کاربرد آثروژل‌ها بسیار زیاد است [۴]. آثروژل‌ها مواد ظرفی می‌هستند که با حذف دقیق حلال در یک فرآیند خشک کردن و پیله از ژل‌های خیس تهیه می‌شوند. خارج نمودن حلال درون منافذ ژل بدون فروپاشی ساختار متخلخل ژل و جلوگیری از جم شدن و ترک خوردن آن، یک چالش اساسی در تهیه آثروژل‌ها است. خشک کردن مهم‌ترین مرحله در بین مراحل تولید مواد نانو ساختار است که تعیین کننده خواص و کاربرد محصول نهایی است [۵].

به طور معمول از روش‌هایی که برای خشک کردن آثروژل‌ها استفاده می‌شود می‌توان به ۱- خشک کردن در فشار محیط، ۲- خشک کردن انجمادی و ۳- خشک کردن در شرایط فوق بحرانی اشاره کرد. در روش خشک کردن در فشار محیط که روش معمول خشک کردن است، ماده‌ای به نام زروژل تولید می‌شود. این روش خشک کردن مشکلاتی همچون ازین رفتن شفافتی، کاهش سطح و پیله، بسته شدن حفره‌های باز، افزایش چگالی، کاهش خواص عایق حرارتی و صوتی، ترک خوردن دیواره‌های ژل و تخریب ساختار را به همراه دارد. دلیل این پدیده‌ها بالا بودن فشار موینگی در زمان خروج حلال از منافذ ژل خیس است. از این رو مهم‌ترین عامل در خشک کردن مواد نانو ساختار، کاهش کشش سطحی مایع درون منافذ ژل است. روش خشک کردن انجمادی با کاهش دما، زیر دمای تبلور حلال موجود در منافذ ژل صورت می‌گیرد. سپس حلال با کاهش فشار در دمای ثابت، تصحیح شده و به صورت بخار خارج می‌شود. در این روش نیز انسباط حلال موجود در منافذ ژل باعث ایجاد تنفس‌هایی می‌شود که منجر به تخریب دیواره حفره‌ها، کوچک شدن ژل، کاهش سطح و پیله، کاهش میزان تخلخل و افزایش اندازه حفره‌ها می‌گردد. این پدیده این واقعیت را توضیح می‌دهد که بیشتر محصولات تولید شده با روش خشک کردن انجمادی، پودری هستند و تولید ژل یکپارچه در این روش دشوار است [۶]. روش خشک کردن فوق بحرانی قدیمی‌ترین و مرسوم‌ترین روش برای تهیه آثروژل‌ها است. خشک کردن فوق بحرانی ژل مهم‌ترین مرحله تولید آثروژل‌ها محسوب می‌شود، زیرا امکان حفظ منافذ و ساختار سه‌بعدی ژل را فراهم می‌کند. این روش

قابلیت کاربرد دارند. عملکرد اکسید آهن در کاربردهای فوق، در صورتی که با سطح ویژه بالا باشند، می‌تواند تا حد زیادی بهبود یافته و منجر به خواص شیمیایی، ساختاری، الکتریکی، مغناطیسی بسیار جالبی شوند [۱۷-۱۹]. به عنوان مثال آثروژل‌های اکسید آهن می‌توانند در زمینه تولید کاتالیزورهای بهبود یافته، فوتوکاتالیست‌هایی با واکنش پذیری بهتر جهت حذف آلاینده‌های آلی و جاذب‌هایی با سیستمیک جذب سریع و ظرفیت جذب بالاتر آلاینده‌های شیمیایی کاربرد داشته باشند.

ژل‌های اکسید آهن را می‌توان در حلال‌های آبی و غیر آبی، با استفاده از انواع نمک‌های معدنی فلز که نسبتاً ارزان و در دسترس هستند، تهیه کرد. اگر پیش ماده  $\text{FeCl}_3 \cdot 6\text{H}_2\text{O}$  یا  $\text{Fe}_2\text{O}_3$  در آب  $\text{Fe}(\text{NO}_3)_3 \cdot 9\text{H}_2\text{O}$  هیدرولیز شود، می‌توانند ژل  $\text{Fe}_2\text{O}_3$  را ایجاد کنند؛ اما اگر پیش ماده متخلخل تأثیرگذار هستند، عبارت‌اند از: نوع نمک پیش ماده، مقدار آب، نوع حلال و غلظت اپوکسید [۱۳].

در آزمایشی که اولین بار توسط گاوش برای تولید آثروژل اکسید آهن انجام شد، از اتانول خشک به عنوان حلال در فرآیند سل-ژل استفاده شد، اما در این پژوهش با توجه به این که در روش خشک کردن دی‌اکسید کربن فوق بحرانی می‌توان از انواع گوناگونی از حلال‌های آبی استفاده کرد، از ۲-پروپانول به عنوان حلال در فرآیند ستنتر استفاده شد؛ این امر هزینه‌های تولید آثروژل را کاهش داد. به علاوه گاوش و همکاران آثروژل تولید شده را کلسانینه نکردند، بنابراین آثروژل حاصل آمورف بود اما در این پژوهش برای بررسی فاز بلوری اکسید آهن، آثروژل حاصل به مدت ۴ ساعت در دمای  $350^{\circ}\text{C}$  کلسانینه شد [۱۴].

هدف از انجام این پژوهش تولید آهن (III) اکسید نانوساختار با سطح ویژه و تخلخل بالا برای استفاده در زمینه‌های گوناگون پژوهشی و صنعتی بود. این هدف با استفاده از روش خشک کردن فوق بحرانی محقق گردید، زیرا بهترین روش خشک کردن مواد نانوساختار که منجر به حفظ ساختار متخلخل و ایجاد خواص کاربردی در آن‌ها می‌شود، روش خشک کردن فوق بحرانی است. برای استفاده از روش خشک کردن فوق بحرانی و تولید انواع آثروژل‌ها یک دستگاه خشک کن دی‌اکسید کربن فوق بحرانی ساخته شد. برای ستنتر ژل اکسید آهن از روش سل-ژل معدنی که روشی ساده و ارزان است، استفاده شد. جهت مقایسه روش‌های

بحرانی پایین ( $31^{\circ}\text{C}$ )، تولید آثروژل‌های خاصی که به دما حساس هستند، مانند: آثروژل‌های پلیمری و زیستی (مانند داروها) را محقق کرد [۱۱]. تا دهه ۱۹۹۰ استفاده از روش خشک کردن فوق بحرانی و ستنتر آثروژل‌های اکسید فلز بسیار دشوار بود، زیرا هیچ روش ستنتر مناسبی برای ساخت ژل‌های اکسید فلز توسط نمک‌های معدنی آن‌ها وجود نداشت. گاوش<sup>۱</sup> در اواسط دهه ۱۹۹۰ میلادی، تکنیک جدیدی برای ستنتر ژل‌های اکسید فلز ایجاد کرد در این روش به جای استفاده از آلکوکسیدهای فلزی که گران هستند و یا در دسترس نیستند، از نمک‌های یونی فلزات به عنوان پیش ماده استفاده شد. این روش، روشی نسبتاً ساده، ارزان و موفق برای ستنتر آثروژل‌های یکپارچه است و به نام روش سل-ژل معدنی پراکنده<sup>۲</sup> (DIS) شناخته می‌شود. در این روش ژل شدن نمک‌های معدنی فلز به کمک اپوکسید اتفاق می‌افتد که منجر به تولید ژل‌های قوی‌تر و با یکنواختی بسیار بهتر می‌شود [۱۲]. اپوکسید به عنوان یک جاذب پروتون برای افزایش یکنواخت pH در محلول عمل می‌کند و منجر به افزایش تراکم و ایجاد یک ژل همگن می‌شود. مدت زمان ژل شدن به میزان سرعت افزایش pH بستگی دارد. در pH بالاتر، مدت زمان ژل شدن کمتر است اما pH محلول نباید به میزان قابل توجهی افزایش یابد. میزان افزایش pH به واکنش و مقدار اپوکسید بستگی دارد [۱۳]. اپوکسیدهای کاتالیزور نیستند و به عنوان عامل ژل سازی در فرآیند تشکیل ژل، مصرف می‌شوند. هویت اپوکسید و غلظت آن تا حد زیادی بر ویژگی‌های ساختاری آثروژل‌ها تأثیرگذار است؛ بنابراین انتخاب اپوکسید کنترل خوبی را روی سطح و تخلخل آثروژل‌ها فراهم می‌کند [۱۴].

اکسیدهای آهن ترکیبات پایداری هستند که در زمینه‌های گوناگون مورد استفاده قرار می‌گیرند. از طریق ترکیب شدن ویژگی‌های اکسید آهن مانند: هدایت الکتریکی و حرارتی خوب، فعالیت کاتالیزوری و ویژگی‌های آثروژل‌ها مانند: سطح ویژه بالا، چگالی کم و تخلخل زیاد، ویژگی‌های منحصر به فردی در آثروژل‌های اکسید آهن ایجاد می‌شود که منجر به افزایش کاربرد آن‌ها در زمینه‌های گوناگون می‌گردد [۱۵]. آثروژل‌های اکسید آهن دارای خاصیت مغناطیسی و رسانایی الکتریکی هستند که آن‌ها را برای کاربرد در حوزه زیست پژشکی مناسب می‌سازد [۱۶]. همچنین این مواد در تهیه رنگدانه‌های غیرآلی، مواد مغناطیسی یا مواد اولیه در تولید فریت‌ها (برای سرامیک، آهنرباهای دائمی، رسانه‌های ذخیره سازی دیجیتال، نوارهای مغناطیسی)، کاتالیزورها (هیدروژن‌زادایی اتیل بنزن به استایرن، فیشر-تروپشن)، پایه کاتالیست، جاذب‌ها، فوتوکاتالیست‌ها، مواد ضد خوردگی و غیره

یعنی در فشار بیش از ۵۸ bar استفاده شود. فشار فرآیند اساساً توسط حجم نسبی دی اکسید کربن مایع وارد شده از سیلندر به دستگاه خشک کن فوق بحرانی ساخته شده، ژل های اکسید آهن به دو روش خشک کردن در فشار محیط (در دمای  $80^{\circ}\text{C}$ ) و خشک کردن دی اکسید کربن فوق بحرانی خشک شدند.

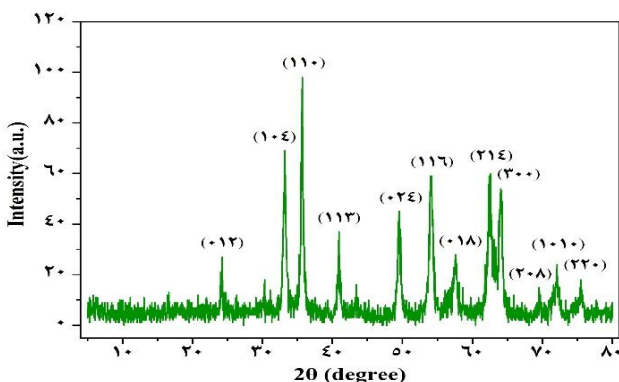
**بخش تجربی**

**سترن ژل آهن (III) اکسید**

برای سترن ژل اکسید آهن از پیش ماده آهن (III) نیترات نه آبه ( $\text{Fe}(\text{NO}_3)_3 \cdot 9\text{H}_2\text{O}$ )، ۲-پروپانول و پروپیلن اکسید (اپوکسید) ساخت شرکت مرک آلمان استفاده شد. به منظور سترن ژل اکسید آهن به روش سل-ژل، ابتدا مقدار  $0.65\text{ g}$  نمک آهن (III) نیترات نه آبه در  $3/5\text{ ml}$  ۲-پروپانول، حل شد و مشاهده شد که پس از انجام واکنش الکل کافت<sup>۱</sup> یک محلول همگن، پایدار، شفاف و نارنجی قرمز ایجاد شد. سپس مقدار  $0.17\text{ mmol}$  پروپیلن اکسید به عنوان اپوکسید، به صورت قطره قطره به محلول اضافه شد. بعد از گذشت حدود ۵ دقیقه ژل یکپارچه و قهوه‌ای رنگی تشکیل شد. به منظور مقایسه روش‌های خشک کردن مواد نانوساختار، ژل‌های حاصل به دو روش خشک کردن در فشار محیط و خشک کردن دی اکسید کربن فوق بحرانی خشک شدند. در روش خشک کردن در فشار محیط که روش معمول خشک کردن است، ژل اکسید آهن در آون و در دمای  $80^{\circ}\text{C}$  به مدت یک شب قرار گرفت و زروژل اکسید آهن تولید شد. برای تولید آتروژل اکسید آهن نیز از دستگاه خشک کن دی اکسید کربن فوق بحرانی تولید داخل استفاده شد.

**خشک کردن دی اکسید کربن فوق بحرانی**

برای خشک کردن آتروژل‌ها با روش خشک کردن دی اکسید کربن فوق بحرانی، به دستگاه خشک کن فوق بحرانی نیاز است. از این رو یک دستگاه خشک کن فوق بحرانی ساده، سازگار با محیط زیست، کم هزینه و ایمن طراحی و ساخته شد. در فرآیند خشک کردن دی اکسید کربن فوق بحرانی حلال موجود در منفذ ژل با دی اکسید کربن مایع تبادل می‌شود و منفذ ژل با دی اکسید کربن مایع پر می‌شود. از آنجایی که دی اکسید کربن در شرایط محیط به صورت مایع وجود ندارد برای این که بتوان یک ژل را در دی اکسید کربن مایع خیساند، باید از دی اکسید کربن در فشاری که می‌تواند به صورت فاز مایع باشد،



شکل ۳ - طیف پراش پرتو ایکس آثروژل آهن (III) اکسید کلسینه شده در دما  $350^{\circ}\text{C}$  و به مدت ۴ ساعت

دستگاه‌های مورد استفاده جهت آنالیز XRD Ultima IV مدل Mini II BET مدل Rigaku آنالیز BET مدل Mira III FESEM مدل Belsorp مدل Zeta مدل اکسید کلسینه شده توسط شرکت Zeta از آنها نیاز است. از این رو آثروژل و زروژل آهن در خلاء و به مدت ۳ ساعت و در دمای  $200^{\circ}\text{C}$  گاز زدایی شدند.

## نتیجه‌ها و بحث

### آنالیز پراش پرتو ایکس

طیف پراش پرتو ایکس آثروژل آهن اکسید کلسینه شده در دمای  $350^{\circ}\text{C}$  در شکل ۳ نشان داده شده است. پیک‌های مشخص شده با ۲۰ های  $71/9$ ,  $69/6$ ,  $54/2$ ,  $42/4$ ,  $57/5$ ,  $54/4$ ,  $49/4$ ,  $40/8$ ,  $35/6$ ,  $33/1$ ,  $24/1$ ,  $10/4$ ,  $110$ ,  $113$ ,  $012$ ,  $024$ ,  $018$ ,  $214$ ,  $300$ ,  $208$ ,  $220$ ,  $1010$  درجه به خوبی با کارت استاندارد JCPDS با شماره ۳۳-۰۶۶۴ مطابقت دارد که نشان دهنده ساختار هماتیت خالص است [۲۱]. این پیک‌ها به ترتیب صفحات اتمی ( $012$ ), ( $110$ ), ( $113$ ), ( $024$ ), ( $116$ ), ( $1010$ ), ( $214$ ), ( $300$ ), ( $028$ ), ( $220$ ) را نشان می‌دهند؛ بنابراین می‌توان نتیجه گرفت که آثروژل آهن (III) اکسید ستتر شده دارای فاز بلوری و ساختار بلوری هماتیت ( $\alpha\text{-Fe}_2\text{O}_3$ ) خالص است.

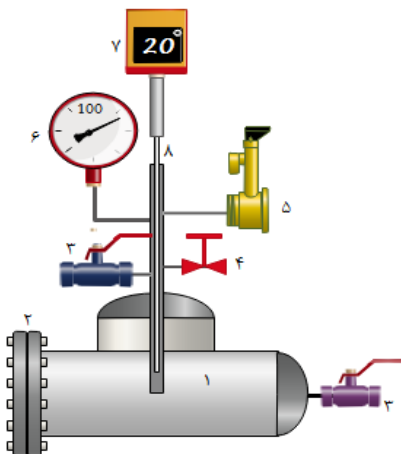
میانگین اندازه بلورک آثروژل آهن (III) اکسید با استفاده از معادله (۱) که معادله شر نام دارد، مقدار  $9/4 \text{ nm}$  محاسبه شد.

$$D = \frac{k\lambda}{\beta \cos \theta} \quad (1)$$

در معادله شر  $D$  متوسط اندازه بلورک (بر حسب نانومتر)،  $\lambda$  طول موج پرتو ایکس،  $K$  ثابت شر که به طور معمول برابر  $0.9$  در نظر گرفته می‌شود،  $\beta$  پهنه‌ای قله در نصف ارتفاع بلندترین قله (بر حسب رادیان) و  $\theta$  زاویه پیک (بر حسب درجه) است [۲۲-۲۴].

جدول ۱ - نام، ویژگی‌ها و کاربرد تجهیزات شماره گذاری شده در شکل ۱

کاربرد	نام و ویژگی‌های تجهیز
محل انجام فرآیند خشک کردن	سهراه (محفظه)، استنليس استیل ۳۱۶، کلاس ۳۰۰
درب دستگاه	فلنج اسپلیون، استنليس استیل ۳۰۴، کلاس ۳۰۰
ورود دی اکسید کربن مایع و خروج بخ خشک دی اکسید کربن	شیر توپی، استنليس استیل ۳۱۶، ۳۰۰ psi
کنترل فشار درون دستگاه به صورت دستی	شیر سوزنی، استنليس استیل ۳۱۶، ۳۰۰ psi
کنترل فشار به صورت خودکار (کالیفره شده در فشار $135 \text{ bar}$ )	شیر اطمینان، استنليس استیل ۳۱۶، ۳۰۰ psi
نمایشگر فشار	گیج فشار (مانومتر)، استنليس استیل ۳۱۶
نمایشگر دما	کنترل دما PID
اندازه‌گیری دمای درون دستگاه	سنسر دما

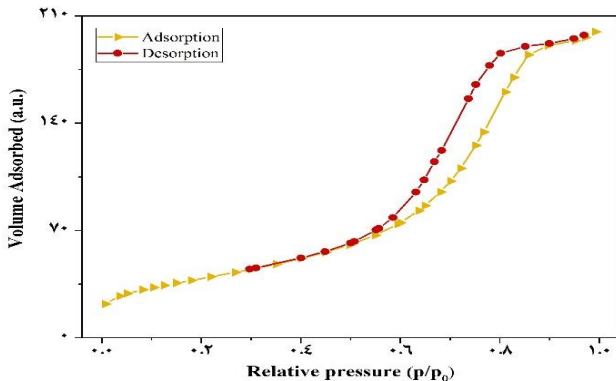


شکل ۱ - شماتیکی از دستگاه خشک کن دی اکسید کربن فوق بحرانی

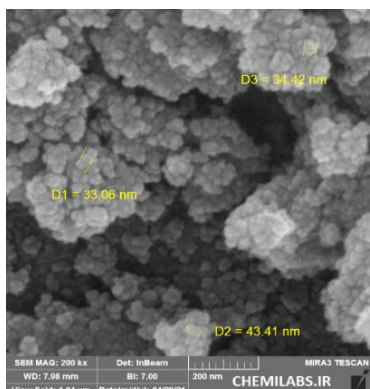


شکل ۲ - تصویری از آثروژل آهن (III) اکسید قبل از کلسینه شدن  
آنالیزهای مشخصه‌یابی

مشخصات ساختاری، فیزیکی و شیمیابی نانوساختارهای آهن (III) اکسید تولید شده با استفاده از آنالیزهای مشخصه‌یابی پراش پرتو ایکس (XRD)، جذب و اخذ نیتروژن (BET&BJH) و میکروسکوپ الکترونی رویشی نشر میدانی (FESEM) مورد بررسی قرار گرفت.



شکل ۵ - نمودار جذب و اجذب نیتروژن آثروژل آهن (III) اکسید کلسینینه شده در دما  $350^{\circ}\text{C}$  و به مدت ۴ ساعت



شکل ۶ - تصویر میکروسکوپ الکترونی روبشی از آثروژل آهن (III) اکسید

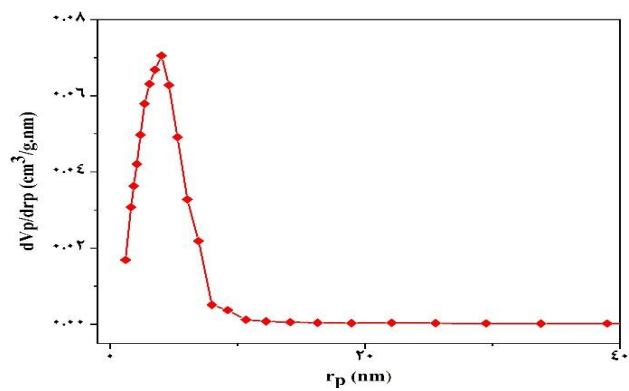
این نوع حلقه پسماند نشان دهنده وجود حفره هایی استوانه ای شکل در ساختار آثروژل اکسید آهن است.

#### آنالیز میکروسکوپ الکترونی روبشی نشر میدانی

در شکل ۶ تصویر میکروسکوپ الکترونی روبشی نشر میدانی با بزرگنمایی ۲۰۰۰۰۰ برابر برای بررسی مورفولوژی و اندازه ذره های آثروژل آهن (III) اکسید ارائه شده است. با توجه به شکل، آثروژل سنتز شده از نانو ذره های کروی شکل، به هم پیوسته و تا حدی ادغام شده تشکیل شده است و اندازه نانو ذره ها تقریباً یکنواخت است. با توجه به نتیجه های آنالیزهای XRD و FESEM در شکل ۶ بلوک های آثروژل اکسید آهن با میانگین اندازه  $9/4 \text{ nm}$  بر اثر پدیده زینتریگ به یکدیگر می پیوندد و نانوذره هایی با اندازه های مشخص شده در شکل ۶ را تشکیل می دهند. در شکل حفره هایی با ابعاد گوناگون دیده می شود که حفره هایی باز هستند. در روش خشک شدن فوق بحرانی به دلیل جربان داشتن سیال فوق بحرانی درون حفره ها تا انتهای مراحل خشک شدن، حفره های باز زیادی در ساختار باقی می ماند که کاربرد آثروژل های اکسید فلزی را به عنوان پایه کاتالیست و جاذب افزایش می دهد.

جدول ۲ - مشخصات ساختاری آهن (III) اکسید نانوساختار

مرجع	میانگین قطر حفره ها (nm)	حجم حفره ها ( $\text{cm}^3/\text{g}$ )	سطح ویژه ( $\text{m}^2/\text{g}$ )	دما کلسیناسیون ( $^{\circ}\text{C}$ )	نمونه
این پژوهش	۸/۹	۰/۳۲	۱۴۰	۳۵۰	آثروژل آهن اکسید
این پژوهش	۱۰/۸	۰/۱۸	۶۵	۳۵۰	زروژل آهن اکسید
[۲۵]	۲۸/۸۱	۰/۱۱	۱۳	۴۰۰	زروژل آهن اکسید



شکل ۴ - توزیع اندازه حفره های آثروژل آهن (III) اکسید کلسینینه شده در دما  $350^{\circ}\text{C}$  و به مدت ۴ ساعت

#### آنالیز جذب و اجذب نیتروژن

داده های حاصل از آنالیز BET و مشخصات ساختاری آثروژل و زروژل آهن (III) اکسید سنتز شده در جدول ۲ آمده است. جهت مقایسه داده های به دست آمده، نتیجه های آنالیز BET پژوهش دیگری در جدول ۲ ارائه شده است.

همان طور که مشاهده می شود آثروژل تولید شده دارای سطح ویژه بالایی ( $140 \text{ m}^2/\text{g}$ ) است. نتیجه ها نشان داد استفاده از روش خشک کردن دی اکسید کربن فوق بحرانی منجر به حفظ بهتر ساختار مخلخل آهن (III) اکسید می شود. شکل ۴ نشان دهنده نمودار توزیع اندازه حفره های آثروژل آهن (III) اکسید است که توسط آنالیز BJH به دست آمده است. همان طور که مشاهده می شود بیشترین توزیع اندازه حفره های آثروژل اکسید آهن کلسینینه شده در دما  $350^{\circ}\text{C}$  در محدوده  $8 \text{ nm}$  متمرکز شده است؛ بنابراین آثروژل سنتز شده دارای ساختار مزبور با اندازه حفره های تقریباً یکنواخت است. شکل ۵ نمودار جذب و اجذب نیتروژن آثروژل آهن (III) اکسید تولید شده را نشان می دهد. بر اساس طبقه بندی ایوپاک، ایزو ترم آثروژل سنتز شده، ایزو ترم نوع IV است که نشان دهنده ساختار مزوحه نمونه است. به علاوه حلقه پسماند ایجاد شده از نوع H1 است.

آثروژل تولید شده دارای سطح ویژه  $140 \text{ m}^2/\text{g}$ ، حجم حفره‌ها  $32 \text{ cm}^3/\text{g}$  و میانگین قطر حفره‌ها  $8/9 \text{ nm}$  است. زرزوژل تولید شده نیز دارای سطح ویژه  $65 \text{ m}^2/\text{g}$ ، حجم حفره‌ها  $18 \text{ cm}^3/\text{g}$  و میانگین قطر حفره‌ها  $10/8 \text{ nm}$  است؛ بنابراین نتیجه‌های به دست آمده از آنالیز BET تأیید می‌کند که خشک کردن اکسید آهن نانوساختار با استفاده از دستگاه خشک کن دی اکسید کربن فوق بحرانی ساخته شده منجر به حفظ بهتر ساختار متخلخل آن می‌گردد. دستگاه خشک کن فوق بحرانی ساخته شده قابلیت عملکرد در محدوده دمایی  $5^\circ\text{C}$  تا  $90^\circ\text{C}$  و فشار بیش از  $140 \text{ bar}$  را دارد. همچنین سیستم گرمایش و سرمایش خودکار دستگاه خشک کن با دقت دمایی  $1^\circ\text{C}$  عمل می‌کند. از آثروژل اکسید آهن سنتر شده در این پژوهش می‌توان به عنوان فتوکاتالیست یا جاذب در حذف آلاینده‌های آلی موجود در پساب صنایع گوناگون مانند نساجی، داروپزازی، پالایش نفت و پتروشیمی یا به عنوان کاتالیست در فرآیندهای گوناگون از جمله تولید مونواستایرن از اتیل بنزن و سنتر فیشر-تروپش استفاده نمود.

تاریخ دریافت: ۱۷ / ۰۵ / ۱۴۰۰؛ تاریخ پذیرش: ۱۵ / ۰۹ / ۱۴۰۰

## نتیجه‌گیری

هدف از انجام این پژوهش تولید آهن (III) اکسید نانوساختار با سطح ویژه و تخلخل بالا برای استفاده در زمینه‌های گوناگون پژوهشی و صنعتی بود. در این پژوهش ژل متخلخل آهن (III) اکسید با استفاده از سه ماده شیمیابی نمک آهن (III) نیترات نه آبه، ۲-پروپانول (حلال) و پروپیلن اکسید (اپوکسید) و به روش ژل-سل سنتر شد. ژل‌های حاصل به دو روش خشک کردن در فشار محیط (در دمای  $80^\circ\text{C}$ ) و خشک کردن دی اکسید کربن فوق بحرانی  $350^\circ\text{C}$  خشک شدند. سپس آثروژل و زرزوژل تولید شده در دمای  $350^\circ\text{C}$  و به مدت ۴ ساعت کلسینه شدند. مشخصات ساختاری و شیمیابی نانوساختارهای آهن (III) اکسید با استفاده از آنالیزهای مشخصه‌یابی پراش پرتو ایکس (XRD)، جذب و واجدب نیتروژن (BET&BJH) و میکروسکوپ الکترونی روبشی نشر میدانی (FESEM) مورد بررسی قرار گرفت. نتیجه‌ها نشان می‌دهد که آثروژل آهن (III) اکسید دارای ساختار مزبور است و از نانوذره‌های کروی شکل و به هم پیوسته تشکیل شده است. الگوهای پراش پرتو ایکس نشان می‌دهد که آثروژل به دست آمده همانیت خالص ( $\alpha\text{-Fe}_2\text{O}_3$ ) است. با استفاده از معادله شرر، میانگین اندازه بلورک آثروژل  $9/4 \text{ nm}$  محاسبه شد.

## مراجع

- [1] Moral M., Rueda M., Mato R. Martín Á., "View Cell Investigation of Silica Aerogels During Supercritical Drying: Analysis of Size Variation and Mass Transfer Mechanisms", *J. Supercritical Fluids*, **92**: 24-30 (2014).
- [2] Stergar J. Maver1U., "Review of Aerogel-Based Materials in Biomedical Applications", *J. Sol-Gel Sci Technol*, **77**: 738-752 (2016).
- [3] Smirnova I. Gurikov P., "Aerogels in Chemical Engineering : Strategies toward Tailor-Made Aerogels", *J. Review of Chemical and Biomolecular Engineering*, **8**: 307-334 (2018).
- [4] Pierre C. Pajonk M., "Chemistry of Aerogels and Their Applications", *J. Chem. Rev*, **102**: 4243-4266 (2002).
- [5] Ganesan K., Budtova T., Ratke L., Gurikov P., Baudron V., Preibisch I., Niemeyer P., Smirnova I. Milow B., "Review on the Production of Polysaccharide Aerogel Particles", *J. Materials*, **11**: 21-44 (2018).
- [6] Ziegler C., Wolf A., Liu W., Herrmann K., Gaponik N., Eychmller A., "Modern Inorganic Aerogels", *J. Angew.Chem. Int. Ed*, **56**: 13200-13221 (2017).
- [7] Kawagishi K., Saito H., Furukawa H. Horie K., "Superior Nanoporous Polyimides via Supercritical  $\text{CO}_2$  Drying of Jungle-Gym-Type Polyimide Gels", *J. of Macromol Rapid Commun*, **28**: 96-100 (2007).
- [8] Pierre C., "History of Aerogels", *J. Materials and Technologies*, Springer. New York, NY, 3-18, (2011).
- [9] Barrios B., Calderon J., "Aerogel Composites : A Review" *J. Polymers*, **11**: 726 (2019).

- [10] Mißfeldt F., Gurikov P., Lo'lsberg W., Weinrich D., Lied F., Fricke M., Smirnova I., "Continuous Supercritical Drying of Aerogel Particles: Proof of Concept", *J. Ind. Eng. Chem. Res.*, **59**: 11284-11295 (2020).
- [11] González A., Camino-Reya C., Alnaiefb M., Zetzla C. Smirnovaa I., "Supercritical Drying of Aerogels Using CO<sub>2</sub>: Effect of Extraction Time on the End Material Textural Properties", *J. Supercritical Fluids*, **66**: 297-30617 (2012).
- [12] Sui R. Charpentier P., "Synthesis of Metal Oxide Nanostructures by Direct Sol-Gel Chemistry in Supercritical Fluids", *J. Chem. Rev.*, **112**: 3057-3082 (2012).
- [13] Gash A., Tillotson T., Satcher J., John J. Poco F., "Use of Epoxides in the Sol-Gel Synthesis of Porous Iron (III) Oxide Monoliths from Fe (III) Salts", *J. Chem. Mater.*, **13**: 999-1007 (2001).
- [14] Gash E., Satcher H., Simpson L. "Strong Akaganeite Aerogel Monoliths Using Epoxides: Synthesis and Characterization", *J. Chem. Mater.*, **15**: 3268-3275 (2003).
- [15] Kido Y., Nakanishi K., Miyasaka A., Kanamori K., "Synthesis of Monolithic Hierarchically Porous Iron-Based Xerogels from Iron (III) Salts via an Epoxide-Mediated Sol-Gel Process," *J. Chem. Mater.*, **24**: 2071-2077 (2012).
- [16] Duræsa L., Moutinhoa A. Seabraa J., "Characterization of Iron (III) Oxide/Hydroxide Nanostructured Materials Produced by Sol-Gel Technology Based on the Fe(NO<sub>3</sub>)<sub>3</sub>•9H<sub>2</sub>O-C<sub>2</sub>H<sub>5</sub>OH-CH<sub>3</sub>CHCH<sub>2</sub>O System" *J. Materials Chemistry and Physics*, **130**: 548-560 (2011).
- [17] Cornell R. M., Schwertmann U., "The Iron Oxides: Structure, Properties, Reactions, Occurrences and Uses", Wiley-VCH, Weinheim, (2003).
- [18] Zboril R., Mashlan M., Petridis D., "Iron (III) Oxides from Thermal ProcessesSynthesis, Structural and Magnetic Properties, Mössbauer Spectroscopy Characterization, and Applications" *J. Chem. Mater.*, **14**: 969-982 (2002).
- [19] Tillotson T. M., Gash A. E., Simpson R. L., Hrubesh L. W., Satcher Jr J. H., Poco J. F., "Nanostructured Energetic Materials Using Sol-Gel Methodologies ", *J. Non-Cryst. Solids*, **285**: 338-345 (2001).
- [20] Bommel J. Haan B., "Drying of Silica Gels with Supercritical Carbon Dioxide", *J. Materials Science*, **29**: 943-948 (1994).
- [21] Babaei E., Bazyari A., "Effects of drying conditions on physicochemical properties of epoxide sol-gel derived  $\alpha$ -Fe<sub>2</sub>O<sub>3</sub> and NiO: A comparison between xerogels and aerogels", *J. Ceramics International*, **48**: 33340-33349 (2022).
- [22] Kazemi H., Shahhosseini S., Bazyari A., Amiri M., "A study on the effects of textural properties of  $\gamma$ -Al<sub>2</sub>O<sub>3</sub> support on CO<sub>2</sub> capture capacity of Na<sub>2</sub>CO<sub>3</sub>", *J. Process Safety and Environmental Protection*, **138**: 176-185 (2020).
- [23] Arvaneh R., Fard A. A., Bazyari A., Alavi S. M., Abnavi F. J., "Effects of Ce, La, Cu, and Fe promoters on Ni/MgAl<sub>2</sub>O<sub>4</sub> catalysts in steam reforming of propane", *J. Korean Journal of Chemical Engineering*, **36**: 1033-1041 (2019).
- [24] Azizzadeh Fard, A., Bazyari, A., Alavi, S. M., Aghamiri, A. R., "The effects of cobalt and cerium promoters on hydrogen production performance of alumina-supported nickel catalysts in propane steam reforming", *J. Chemical Technology & Biotechnology*, **95**: 3241-3251 (2020).
- [25] Tomić Z., Marija M., Vuksanović1, Veljović2Đ., Đokić V. Aleksandar D., "Photocatalytic Degradation of Bisphenol with  $\alpha$ -Fe<sub>2</sub>O<sub>3</sub> Fibers and Particles ", *J. Science of Sintering*, **51**: 265-276 (2019).